

선대 평판형 반응기에서 NO₂ 생성에 미치는 O₂의 영향

박재윤, 김성진, 김종달*, 이선재, 하상태, 한상보, 이동훈
경남대학교 전기공학과, *동명대학

The influence of O₂ concentration on the generation of NO₂ by using the wire-plate reactor

Park Jae Youn, Kim Sung Jin, Kim Jong Dal, Lee Sun Jae, Ha Sang Tae, Han Sang Bo, Lee Dong Hoon
Kyung Nam Uni, Dong Myung Col..

Abstract In this paper, the effect of O₂ concentration on NO removal and NO₂ generation by corona discharge from simulated flue gas was measured and estimated for the wire-plate reactor.

NOx removal rate was 0 ~ 30[%] under about 3.4[%] of oxygen concentration, however, it was difficult to remove NOx over 3.4[%] of oxygen concentration. It may be due to generate NO₂ from N₂ and O₂ molecules and converse NO to NO₂ by O and O₃.

Magnetic field applied to electric field in plasma was very effective for NOx removal under 2[%] of O₂ concentration.

1. 서 론

기존 질소산화물의 제거에는 물리적, 화학적, 생물학적 방법 등의 다양한 방법이 제시되고 있고, 현재 전기화학적인 방법을 이용한 유해가스처리 방법이 국제적인 경향이라고 사료되며, 질소산화물등의 유해가스 처리를 위해 각국의 환경관련 기업과 국영 및 대학 연구소가 중심이 되어 깊이 있게 연구되고 있는 실정이다.

본 연구는 대기오염의 중심적 위치에 있는 질소산화물을 물리적인 파라메타에 따른 분석을 시도하였다. 우선 산소와 질소의 플라즈마 반응기 내부로의 유입가스 농도비에 따른 상호영향을 조사하였다. 일반적으로 연소반응 이후 5[%] 내외의 O₂가 재배출되고 있고, 이러한 배출가스를 본 연구에서는 전기적인 방법을 이용하여 재처리하고자 한다. 또한 여러 조건하에서 실제로 생성될 수 있는 연소반응 후의 질소산화물을 모델로 하여 모의가스를 만들고 산소의 체류시간, 전원 주파수 및 파형, O₂농도, 전력, 전압, 측배, 유속 등에 따라 측정하고 이들의 제거 경향을 상호 분석하였다. 대부분 배출가스들은 재처리 과정에서 부정적인 결과를 야기하므로 이들의 화학적 리사이클에 관한 분석은 필요하다고 할 수 있다. 그러므로 가스 상호간의 전기화학적 관계를 규명하는 것이 필요하며 이것이 본 연구의 목적이다.

2. 본 론

2.1 실험장치 및 실험방법

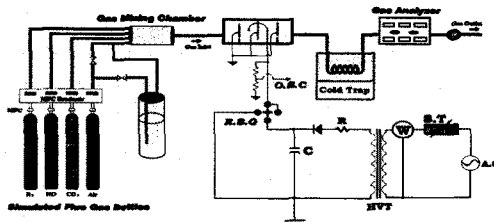


그림 2.1. 실험장치 구성도

Fig. 2.1. Schematic diagram of experimental setup

그림 2.1은 본 연구에 사용된 실험장치의 구성도이다. 그림에서 나타낸 것과 같이 실험장치는 방전 플라즈마를 발생시켜 유해가스를 산화 변환시키는 반응기, 모의연소가스(NO-N₂-CO₂-Air)의 유량을 조절하는 자동 유량제(MFC : Mass Flow Controller), 혼합가스중의 수분을 제거하여 가스분석 장치의 센서를 보호하기 위한 콜드트랩(Cold Trap) 그리고 혼합가스 성분을 분석하는 초정밀 연소가스 분석 장치(Greenline MK2, Eurotron/Italy)로 구성되어 있다.

펄스전원은 고전압 변압기(20[kV], 200[mA], 4[KVA]), 고전압 회로보호용 안전저항(100[kΩ]), 고전압 다이오드(10[kV], 7개) 및 평활 콘덴서(2500[pF], 30[kV], 8개)로 반파 정류회로로 직류 전압을 발생시켜 로타리스파크갭(R.S.G : Rotary Spark Gap)스위치를 사용하여 구형파уль스전압을 발생시켰다. 또한, 구형파уль스의 펄스반복율은 로타리스위치 구동모터의 회전수로 조절할 수 있다.

반응기는 테프론을 사용하여 제작하였으며, 앞면에는 내부의 방전상태를 확인하기 위해 투명 아크릴을 사용하였다. 방전선은 길이 150[mm], 직경 0.3[mm]의 퍼스텐선을 사용하였고, 점지극은 150[mm] × 45[mm] × 10[mm](가로 × 세로 × 두께)인 동판을 사용하였다. 플라즈마 반응기의 크기는 250[mm] × 170[mm] × 100[mm]이고, 선전극과 평판전극간 거리는 20[mm], 반응기 입·출구의 내부직경 6[mm]인 선대평반반응기를 2단으로 설계하여 모의가스가 골고루 에너지가 전달되도록 제작하였다. MFC를 이용하여 모의가스의 유량 및 유속을 일정하게 유지하였으며, 플라즈마 반응기 내부의 이온이나 라디칼의 영향을 극대화하기 위해 2단 선대평반반응기를 선택하였다.

방전전압 및 전류 과정은 Pulse Electronic Co.에서 제작된 High Voltage Probe(내압 50[kV], 2000:1)을 이용하여 LeCroy LC 334A 500[MHz] 오실로스코프로 측정하였다. NOx 농도는 Greenline Mk2 가스분석기를 사용하여 측정하였다. 또한, 자계인가를 위해서 자속밀도(B_c)가 약 10000[gauss]인 Samarium-Cobalt 재질의 영구자석을 이용하였다.

실험은 상온 상압에서 행하여졌으며, MFC를 사용하여 모의연소가스(NO, CO₂, O₂, N₂) 유량을 6[L/min]로 일정하게 하고 모의연소가스의 조성을 N₂+O₂, NO+CO₂ 등으로 하여 펄스전압과 펄스반복율 및 산소농도에 따른 NO 및 NO₂의 농도 변화를 조사하였다. 또한, 전계와 직각방향으로 자계를 인가한 경우 O₂가 NO에서 NO₂로의 산화반응에 어떤 영향을 주는가의 관계를 측정 분석하였다.

2.2. 실험결과 및 고찰

2.2.1 NO₂ 생성에 대한 인가전압의 영향

그림 2.2는 자계의 유무에 대한 펄스 전압의 증가에 따른 NO 및 NO₂ 농도의 변화를 나타낸 것이다. 펄스의 반복율은 250[pps]이다.

모의연소가스의 구성은 NO-N₂-CO₂-Air이고, CO₂: 11.9[%], O₂: 4.4[%], NO: 0.02[%] 및 N₂: 83.68[%]로서 가스유량 6[L/min]로 일정하게 유지하였다.

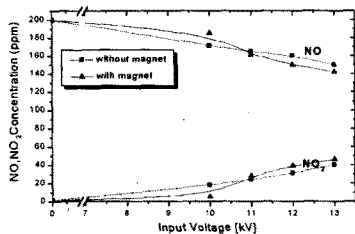


그림 2.2. 인가전압에 대한 NO와 NO₂ 농도
Fig. 2.2. NO, NO₂ concentration on the input voltage

그림에서 약 10[kV]에서 코로나가 발생하여 NO제거 및 NO₂가 발생되기 시작하고 전압상승에 따라 NO량은 감소되나 NO₂는 상당한 양이 생성되어 NO_x(NO+NO₂) 제거량은 매우 낮게 나타났다. 자계인가의 경우가 NO 제거 및 NO₂ 생성량이 약간 많은 것을 알 수 있다.

따라서, 첨가가스가 주입되지 않은 단순한 전기적 방전에 의한 경우, 플라즈마 중 산소(O₂)분자로부터 발생된 라디칼 O, O₃에 의해서 NO가 대부분 NO₂로 변환되는 것으로 추정된다. 또한, 10[kV]에서는 자계인가시가 비인가시보다 오히려 NO제거 및 NO₂생성량이 적은 것을 볼 수 있다. 이는 자계인가의 경우 코로나 On-Set 전압이 높기 때문인 것으로 사료된다.^[12]

그림 2.3는 자계유무에 따른 펄스 반복율 변화에 따른 NO제거 및 NO₂생성량을 나타낸 것이다. 펄스전압 크기는 11[kV]로 일정하다. NO초기농도는 137[ppm]이고, 모의 연소가스의 유량은 6[L/min]로 하였다.

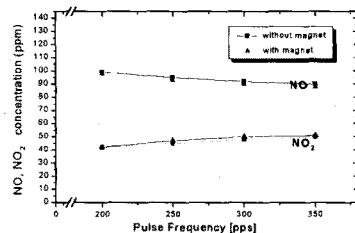


그림 2.3. 펄스 반복율에 대한 NO와 NO₂ 농도
Fig. 2.3. NO, NO₂ concentration on frequency

펄스 반복율의 증가에 따라 코로나 개시전압은 낮아지고, 플라즈마가 대면적화되어 NO산화율이 약 300[pps]까지는 약간 증가되었다. 이는 펄스 반복율 증가에 따라 펄스 전압의 오버슈트 전압이 증가하고, 반응기 내부의 에너지 증가에 따른 영향으로 사료된다. 그러나 300[pps] 이후에는 포화하는 경향을 보였다. 그럼 2.2와 그림 2.3의 코로나 방전 플라즈마에 의한 NO_x제거특성에서 NO₂의 다량 생성으로 인해 NO_x제거량은 큰 변화가 없는 것으로 나타났다.

2.2.2 NO₂ 생성에 대한 CO₂의 영향

그림 2.4는 모의 가스의 조성을 NO와 CO₂만으로 구성하여 펄스 전압을 증감함에 따라 NO, CO 및 NO₂농도 변화를 나타낸 것으로 NO₂ 생성에 미치는 CO₂의 영향을 즉정한 것이다. 펄스전원 반복율은 250[pps], 가스의 유량은 6[L/min]로 일정하게 유지하였다. NO 초기농도는 140[ppm]이고, CO₂는 10.9[%]이다.

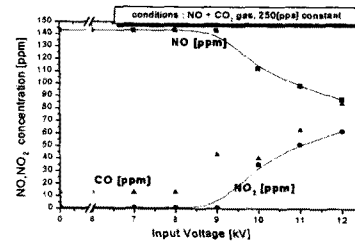


그림 2.4. 인가전압에 대한 NO와 NO₂ 농도
Fig. 2.4. NO, NO₂ concentration on the input voltage

그림에서 펄스 전압 증가에 따라 CO 및 NO₂ 농도가 같은 경향으로 증가한다. 이는 방전 플라즈마에 의해 CO₂분자가 분해되어 CO 및 O 등이 발생되고, O라디칼과 NO분자의 반응에 의하여 NO₂가 생성되는 것이다. 또한, NO가 NO₂로 최대 44[%]까지 산화되지만 13[kV] 이상의 고전계 영역에서는 전로파괴로 인해 플라즈마가 매우 불안정하게 되어 더 이상 산화반응이 발생하지 않았다. 따라서, 모의 연소가스의 구성 중 CO₂ 분자도 NO의 산화반응에 영향이 있음을 예측할 수 있다.

2.2.3. NO₂ 생성에 대한 O₂의 영향

그림 2.5는 NO₂발생 메카니즘 조사를 위해 공기중의 N₂와 O₂가 NO₂의 생성에 미치는 영향을 나타내었다.

이는 모의 연소가스 조성을 N₂와 O₂만으로 구성하여 펄스 전압 증가에 따른 NO₂ 생성량을 측정한 것으로서, 이때 가스유량 6[L/min], O₂농도 1.7[%] 및 5.1[%], 펄스 반복율을 250[pps]로 일정하게 유지시켰다.

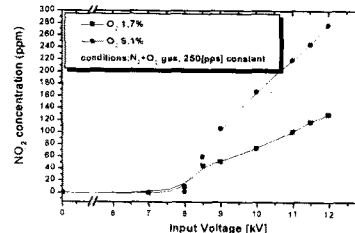
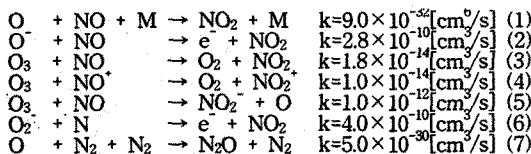


그림 2.5. 인가전압에 대한 O₂ 농도별 NO₂ 농도
Fig. 2.5. NO₂ concentration as O₂ concentration on input voltage

그림 2.5와 같이 펄스 전압 증가에 따라 NO₂생성량이 급속히 증가하였으며, 특히 O₂농도 1.7[%]일 때 보다 5.1[%]일 때 NO₂생성량이 두 배 이상 크게 나타났다.

이는 방전에 의한 플라즈마 에너지에 의해 O₂분자 및 N₂분자가 라디칼로 변화되어 라디칼 반응에 의해 NO₂가 생성되는 것으로 사료된다. 또한, 동일한 모의가스 조성 중에서 O₂농도 증가에 따라 플라즈마 영역에 보다 많은 O, O₃등의 라디칼이 존재하게 되어 다음 식과 같은 반응으로 활성화됨으로서 NO₂의 생성량이 급격히 증가되는 것으로 사료된다. 따라서, O₂가 존재하는 가스조성 중에서 단순한 전기적 방전에 의해서는 NO_x제거가 어렵다는 것을 알 수 있다. 이는 펄스 코로나 방전에 의해 발생된 플라즈마 중의 높은 에너지를 가진 자유전자가 모의 연소가스 중 산소(O₂)분자와 충돌함으로서 O₂로부터 발생된 O, O⁻, O₂⁻, O₃등에 의하여 식(1)~식(5)과 같이 NO의 NO₂로의 산화 및 식(6), 식(7)과 같이 라디칼 O, O₂⁻와 N₂⁻의 반응에 의해 새로운 NO₂가 생성되기 때문인 것으로 사료된다.



2.2.4 NO₂ 생성에 대한 자계의 영향

그림 2.6과 그림 2.7은 모의 연소가스 유량(N₂-NO-Air, 6[l/min]) 펄스전압 11[kV], 펄스 반복율 250[pps]로 일정하게 하여 자계인가 및 비인가시의 O₂농도 변화에 따른 NO, NO₂ 농도 및 NO_x제거율을 보인 것이다.

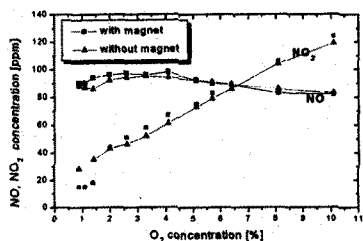


그림 2.6. O₂ 농도에 따른 NO와 NO₂ 농도

Fig. 2.6. NO, NO₂ concentration as O₂ concentration

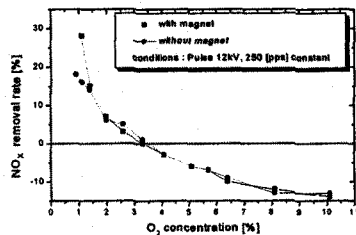


그림 2.7. O₂ 농도에 따른 NO_x 제거율

Fig. 2.7. NO_x removal rate as O₂ concentration

그림 2.6에서와 같이 O₂농도가 2[%]이하, 자계인가의 경우 NO₂생성량이 자계비인가 경우보다 현저히 작고, 그 이상의 농도에서는 오히려 자계인가의 경우가 약간 많았다. 또한, 그림 2.7에서 O₂농도 2[%]이하, 자계인가의 경우가 자계비인가에 비해 NO_x제거량이 높은 것으로 나타났다. 이는 자계인가시 상자성의 성질이 있는 산소분자가 자계 표면으로 끌어 O, O₃ 등의 산소활성종의 발생이 줄어 NO₂의 생성량이 감소하는 것으로 사료된다.

O₂ 농도 3.4[%]이상의 경우 오히려 NO_x제거율이 감소 경향을 나타내었다. 이는 O₂농도가 높은 경우에 NO가 NO₂로 산화되고, N₂와 O₂분자간의 NO₂생성반응으로 인하여 NO_x농도가 증가되기 때문으로 사료된다. 따라서 O₂농도가 3.4[%]이상의 경우 방전플라즈마에 의해서는 NO_x제거가 상당히 어려우므로 첨가제(NH₃, HC계열), 촉매(Cu-ZSM5, Na-ZSM5, TiO₂등)를 결합한 Hybrid 방법을 이용하는 것이 바람직하다고 사료된다.

제 5 장 결 론

본 연구에서는 코로나 방전 플라즈마를 이용 NO의 산화 및 제거반응과 NO₂의 생성반응과정을 측정·분석하였고, 다음과 같은 결론을 얻었다.

(1) 모의 연소가스(NO-N₂-CO₂-Air)에 고전압을 인가하

면 초기NO의 양은 감소되나 NO₂가 상당한 양이 생성되어 NO_x(NO+NO₂)는 거의 제거되지 않았다.

(2) 펄스 반복율이 증가함에 따라 플라즈마 중 전자에너지가 증가함으로서 NO의 산화율이 300[pps]까지 증가되었다. 300[pps]이후에는 포화하는 경향을 보였다.

(3) O₂농도 2[%]이하에서 자계인가의 경우가 자계비인가에 비해 NO₂생성량이 매우 작아 NO_x의 제거량이 높았으며, 이는 O₂의 상자성체 성질 때문인 것으로 사료된다.

(4) O₂농도 증가에 따라 NO제거에는 큰 영향이 없으나 NO가 NO₂로 산화반응에 영향을 주었고, N₂, O₂에 의해 NO₂ 생성반응으로 인하여 NO_x총량이 증가하였다. 특히 O₂농도가 약 3.4[%]이상에는 방전플라즈마만으로는 NO_x의 제거가 어렵다는 결론을 얻었다.

참 고 문 헌

- [1] 清水一男 外 3人, "温式プラズマガス處理", 放電プラズマによるガス状環境汚染物質の處理技術に関する総合的研究, pp. 69~78, 1994.
- [2] J.S.Chang, "Energetic electron induced plasma processes for reduction of acid and greenhouse gases in combustion flue gas", Non-Thermal Plasma Techniques for Pollution Control Part A, Springer-Verlag Pub. Co., pp. 1~32, 1993.
- [3] Kazuo Shimizu, Hiroyuki Sone, Akira Mizuno, "Effect of water on NO_x removal using pulsed discharge plasma", 静電學會議演論文集, pp. 355~358, 1993.
- [4] J. S. Chang et al, "The effect of ammonia mixing concentration on the reduction of NO_x in a combustion flue gas by superimposing surface/silent discharge plasma reactor", 放電プラズマによるガス状環境汚染物質の處理技術に関する総合的研究, pp. 59~68, 1994.
- [5] K. Mizuno, K. Shimizu, K. Yanagihara, K. Kinoshita, H. Tsunoda, H. Kim and S. Katsura, "Effect of Additives and Catalysts on Removal of Nitrogen Oxides Using Pulsed Discharge", Proc. of 1996 IEEE IAS Annual Meeting, Oct. 6~10, San Diego, CA, Vol. 3, pp. 1808~1812, 1996.
- [6] J.S.Chang, K.Urashima, M.Arquilla, T.Ito, "Reduction of NO_x from Combustion flue Gases by Corona discharge activated Methane radical Injections", Combust. Sci. and Tech., Vol. 133, pp. 31~47, 1998.
- [7] H. Shaw, "Aqueous Solution Scrubbing for NO_x Control in Munitions Incineration", "The Amr. Soc. of Mechanical Engineers, August 1976.
- [8] T. Oda, T. Kato, T. Takahashi, and K. Shimizu, "Nitric Oxide Decomposition in Air by Using Non-Thermal Plasma Processing," Proc. of IEJ-ESA 1996 Joint Symposium on Electrostatics, Univ. of Tokyo, Tokyo, Japan, Oct. 30-31, pp. 17~28, 1996.
- [9] J.S.Chang and A.L.C.Kwan, "Negative ion Chemistry of Air Cleaning Coaxial Wire-Tube Electrostatic Precipitator", Proceedings ICESP VII, Kyongju, Korea, Sep. 20~25, pp. 32~39, 1998.
- [10] 박재윤, 김건호, 고희석, "펄스 스트리머 방전을 이용한 NO_x 제거", 전기전자재료학회, Vol 10, NO 8, pp. 807~802, 1997.
- [11] Akira Mizuno, Yoshifumi Yamazaki, Hiroshito and Hiroshi Yoshida, "Ac energized ferroelectric pellet bed gas cleaner", IEEE Trans. on IAS, Vol.28, No. 3, pp. 535~540, 1992.
- [12] Jae-yoon Park, Geon-ho Kim, Jong-dal Kim, "NO_x Removal Using DC Corona Discharge with Magnetic Field", Combust. Sci. and Tech., Vol.133, pp. 65~77, 1998.